

## Preparasi dan karakterisasi mikrostruktur dan sifat magnet ZnFe<sub>2</sub>O<sub>4</sub>

### *Preparation and characterization of ZnFe<sub>2</sub>O<sub>4</sub> on the microstructures and magnetic properties*

Received 22 November 2020

Accepted 7 December 2020

Published April 2021

**Tua Raja Simbolon<sup>1\*</sup>, Timbangen Sembiring<sup>1</sup>, Muhamadin Hamid<sup>1</sup>, David Arianto Hutajulu<sup>1</sup>, Martha Rianna<sup>1</sup>, Achmad Maulana Soehada Sebayang<sup>3</sup>, Anggito P. Tetuko<sup>2</sup>, Eko Arief Setiadi<sup>2</sup>, Masno Ginting<sup>2</sup>, dan Perdamean Sebayang<sup>2,3</sup>**

<sup>1</sup>Departemen Fisika, Universitas Sumatera Utara, 20155 Medan, Indonesia

<sup>2</sup>Pusat Penelitian Fisika (P2F), Lembaga Ilmu Pengetahuan Indonesia, Serpong, Indonesia

<sup>3</sup>Departemen Teknik Mesin, Universitas Pamulang, Serpong, Indonesia

**Abstrak.** Telah berhasil dilakukan sintesis ZnFe<sub>2</sub>O<sub>4</sub> menggunakan metode sol-gel. ZnO dan serbuk Fe<sub>3</sub>O<sub>4</sub> dicampur dan dipanaskan menggunakan hot plate pada suhu 60°C selama satu jam. Efek dari doping ZnO pada mikrostruktur, morfologi dan sifat magnet dikarakterisasi menggunakan XRD, SEM dan VSM. Hasil dari XRD dan SEM mengkonfirmasi bahwa struktur ZnFe<sub>2</sub>O<sub>4</sub> spinel ferit menunjukkan kristal rata-rata 1 μm. Kemudian sifat kemagnetan ZnFe<sub>2</sub>O<sub>4</sub> yang dikonfirmasi bersifat paramagnetik dengan kondisi optimum dari sifat kemagnetan tersebut tercantum sebagai berikut: Ms 0,4 emu·g<sup>-1</sup>, Mr 0,2 emu·g<sup>-1</sup>, dan Hc 230 Oe.

**Abstract.** ZnFe<sub>2</sub>O<sub>4</sub> have been synthesized using sol-gel method. ZnO, and Fe<sub>3</sub>O<sub>4</sub> powder was mixing with hotplate for one hour in 60°C. Effect of ZnO doped on microstructure, morphology and magnetic properties were investigated using XRD, SEM and VSM. The result of XRD and SEM confirmed that the ZnFe<sub>2</sub>O<sub>4</sub> structure of spinel ferrite has average crystal of 1 μm. The magnetic properties of ZnFe<sub>2</sub>O<sub>4</sub> confirmed paramagnetic with the optimum condition of the magnetic properties are listed in the following: Ms 0.4 emu·g<sup>-1</sup>, Mr 0.2 emu·g<sup>-1</sup>, and Hc 230 Oe.

**Keywords:** ZnFe<sub>2</sub>O<sub>4</sub>, Sol-gel method, Microstructures, Magnetic Properties.

#### Pendahuluan

Seiring dengan berkembangnya zaman dan teknologi yang sudah semakin canggih maka terdapat banyak perkembangan inovasi pembuatan material khususnya material nanomagnetik. Diantara inovasi pembuatan material magnetik yang terus dikembangkan adalah seperti bahan material magnetik berbasis spinel ferit. MFe<sub>2</sub>O<sub>4</sub> (M = Zn<sup>2+</sup>, Co<sup>2+</sup>, Cu<sup>2+</sup>, Ni<sup>2+</sup>, Mg<sup>2+</sup>, Fe<sup>2+</sup>) merupakan senyawa yang memiliki struktur spinel dimana dalam sistem kristal kubik dengan dikelompokkan pada ruang *Fd3m*, dimana tersusun dari ion oksigen yang padat dengan seperdelapan dari celah tetrahedral dan satu-setengah dari celah oktaedral ditempati oleh kation (Ibrahim *et al.*, 2016; Sripriya *et al.*, 2017). Distribusi kation M struktur mempengaruhi dalam pembentukan struktur spinel selama proses sintesis dilakukan, dimana akan memiliki mikrostruktur, sifat magnet dan kelistrikan yang berbeda sesuai dengan banyak aplikasi, seperti dalam penyerapan air limbah sistem (Ivanets *et al.*, 2019), pigmen anorganik (Chavarriaga *et al.*, 2018) atau pendinginan magnetik (Franco *et al.*, 2018). Di sisi lain, Manikandan *et al.* (2014) juga mempublikasikan berbagai nanopartikel ferit untuk aplikasi fotokatalis, aktivitas antibakteri dan sebagai sensor kelembaban. Spinel ferit dapat diaplikasikan pada biomedis, perangkat elektronik

(Anandan *et al.*, 2017), Magnetic Resonance Imaging (MRI) dengan sifat magnet spinel ferit MFe<sub>2</sub>O<sub>4</sub> (M = Fe, Co, Mn) untuk membantu identifikasi penyakit (C.P *et al.*, 2012), dan penyerap gelombang mikro (Sembiring, *et al.*, 2019). Ferit dengan rumus X.Fe<sub>2</sub>O<sub>3</sub> (X= MgO, ZnO, MnO dan CaO) dapat dibuat dalam beberapa metode seperti *mechanical alloying*, penambahan MgO pada Fe<sub>2</sub>O<sub>3</sub> metode co-presipitasi (Saputra *et al.*, 2020), metode *hydrothermal* dan sebagainya. ZnO merupakan komponen material elektrik karena memiliki sifat mesoporous, sebaran area yang besar, resistivitas yang rendah, sifat magnetik, sifat listrik dan sifat optik yang menarik (Sarkar *et al.*, 2012).

Penambahan ZnO pada Fe<sub>2</sub>O<sub>3</sub> dapat menaikkan sifat kristalinitas, energi gap dan sifat magnetik (Khayatian *et al.*, 2016). Kim *et al.* (2019) melaporkan penambahan MnO pada Fe<sub>2</sub>O<sub>3</sub> sebagai katalis mampu diaplikasikan dalam pemisahan air dan sebagai katalis (Dolgykh *et al.*, 2014). Aliah *et al.* (2018) juga melaporkan sintesis material keramik ferit untuk aplikasi sensor, hasil optimum sensitivitas sensor didapat sebesar 47,41%. Berdasarkan hasil literatur review diatas, dalam penelitian ini akan dibuat material magnet nanokomposit ZnFe<sub>2</sub>O<sub>4</sub> dengan metode sol-gel untuk mempelajari mikrostruktur dan sifat magnet dari ZnFe<sub>2</sub>O<sub>4</sub>.

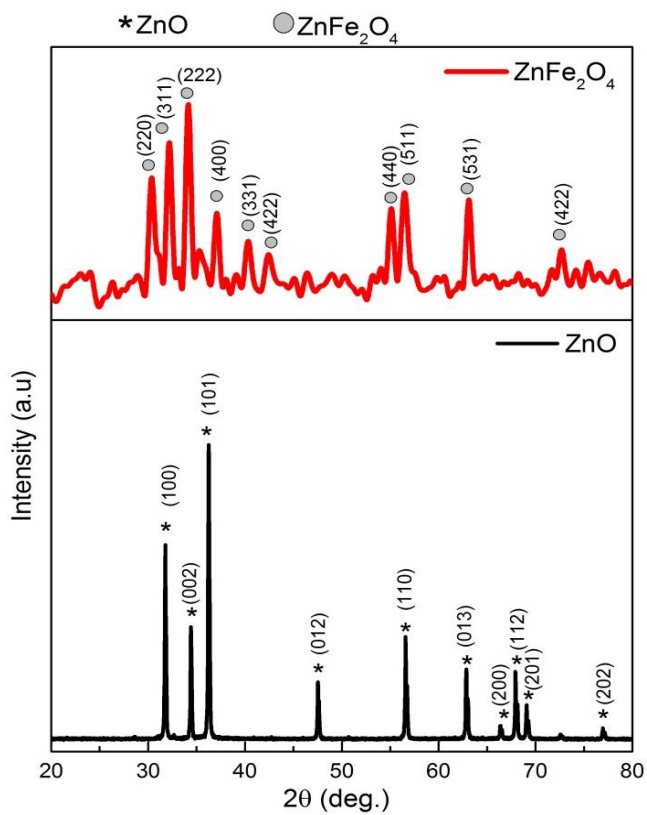
\*corresponding Author: tuaraja@usu.ac.id

## Metodologi

Pertama, zink nitrat heksahidrat ( $\text{Zn}(\text{NO}_3)_2 \cdot 6\text{H}_2\text{O}$ ) dan ferric nitrat nonahidrat ( $\text{Fe}(\text{NO}_3)_3 \cdot 9\text{H}_2\text{O}$ ) digunakan sebagai prekursor untuk preparasi sintesis nanokomposit magnet  $\text{ZnFe}_2\text{O}_4$  dengan metode sol-gel combustion. Rasio molar antara zink nitrat dan ferric nitrat adalah 1:1 mol% yang dilarutkan ke dalam air deionisasi (*deionized water*) yang diaduk selama 1 jam pada suhu 60°C dengan hotplate. Setelah itu, sol transparan dikeringkan pada suhu 90°C selama 12 jam hingga air menguap (evaporasi). Serbuk yang dihasilkan kemudian dimasukkan ke dalam tanur dan dikalsinasi pada suhu 400°C selama 2 jam untuk meningkatkan kristalinitas dan katalisisnya. Kemudian dianalisa mikrostruktur menggunakan XRD dan SEM serta sifat magnet menggunakan VSM.

## Hasil Penelitian

Hasil pola difraksi sinar-X pada sintesis  $\text{ZnO}$  dan  $\text{ZnFe}_2\text{O}_4$  ditampilkan pada Gambar 1. Pada gambar menunjukkan bahwa hasil puncak dhkl mengandung unsur Zn dan  $\text{ZnFe}_2\text{O}_4$ . Hal ini telah bersesuaian dengan hasil penelitian oleh Dewi, Widanarto and Effendi, (2019). Perubahan fasa terjadi akibat pengaruh kalsinasi berdampak pada ukuran butiran kristal (Rianna, et al., 2019).



Gambar 1 Hasil XRD  $\text{ZnO}$  dan  $\text{ZnFe}_2\text{O}_4$

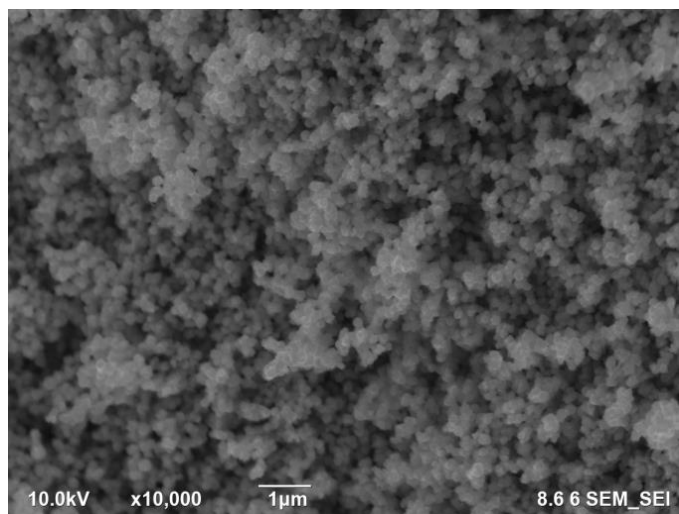
Tabel 1 menunjukkan parameter kisi yang dihitung menggunakan persamaan *Deybe Scherrer*. Penambahan Fe pada  $\text{ZnO}$  menjadi  $\text{ZnFe}_2\text{O}_4$  mempengaruhi ukuran

butiran kristal. Ukuran butiran kristal ini akan memperlihatkan tingkat homogenitas saat proses pencampuran prekursor (Qin et al., 2017).

Tabel 1 Parameter kisi  $\text{ZnO}$  dan  $\text{ZnFe}_2\text{O}_4$

Nama Sampel	$2\theta$ (deg.)	a (Å)	D (nm)	$\varepsilon$ ( $10^{-3}$ )	$\delta$ (line/m <sup>2</sup> )
$\text{ZnO}$	34,40	8,42	29,75	3,44	5,07
$\text{ZnFe}_2\text{O}_4$	34,47	8,40	18,92	4,68	3,26

Gambar 2 menunjukkan hasil pengujian SEM dari  $\text{ZnFe}_2\text{O}_4$ . Dari hasil SEM menunjukkan bahwa sampel memiliki ukuran partikel uniform. Hal ini diakibatkan penambahan aditif Zn yang mempercepat proses densifikasi (Sun et al., 2013). Kemudian hasil EDS pada Gambar ditunjukkan pada Tabel 2. Hasil EDS menunjukkan bahwa element unsur penyusun sampel terdiri atas Zn sebesar 10,1 %, Fe sebesar 18,4%, dan O sebesar 38,5%.



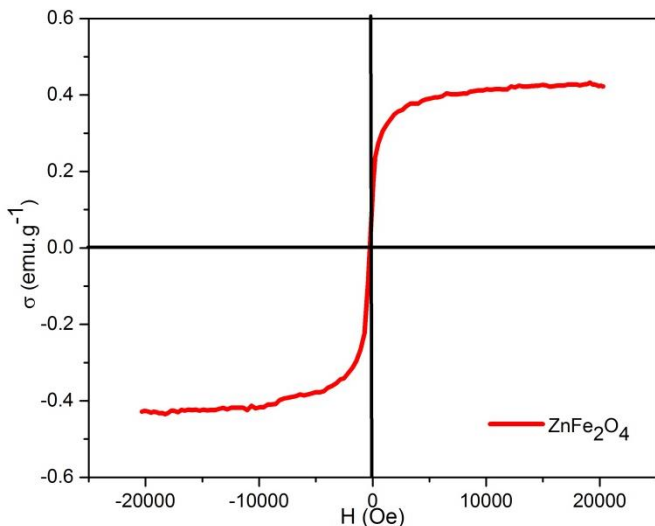
Gambar 2 Hasil SEM  $\text{ZnFe}_2\text{O}_4$

Tabel 2 Hasil EDS dari SEM  $\text{ZnFe}_2\text{O}_4$

Unsur	Berat %	Atomik %
Zn	19,8	10,1
Fe	29,2	18,4
O	51,0	38,5

Gambar 3 menunjukkan hasil sifat magnet dari material  $\text{ZnFe}_2\text{O}_4$ . Nilai koersivitas dihasilkan sebesar 230 Oe, nilai saturasi sebesar 0,4 emu·g<sup>-1</sup> dan nilai remanansi sebesar 0,2 emu·g<sup>-1</sup>.  $\text{ZnFe}_2\text{O}_4$  menunjukkan sifat paramagnetik yang mungkin disebabkan oleh *impurity* atau oksigen *vacancy* setelah disintesis (Hofmann et al., 2007; Rianna, et al., 2019). Hasil ini sama yang telah dilaporkan oleh Rahmayeni et al (2020) bahwa hasil sifat parameter magnetik Ms 0,43 emu·g<sup>-1</sup> dan 0,7 emu·g<sup>-1</sup> menunjukkan sifat paramagnetik. Hal ini sama dilaporkan dalam

penelitian sebelumnya oleh Sebayang *et al.* (2007) bahwa penambahan bahan aditif dapat merubah sifat magnet dan mikrostruktur dari suatu material magnet. Penambahan ZnO terhadap Fe<sub>3</sub>O<sub>4</sub> telah mengubah sifat magnet menjadi paramagnetik (Fu and Wang, 2011).



Gambar 3. Hasil VSM ZnFe<sub>2</sub>O<sub>4</sub>

## Kesimpulan

ZnFe<sub>2</sub>O<sub>4</sub> telah berhasil disintesis menggunakan metode sol-gel untuk dilihat mikrostruktur dan sifat magnetnya. Hasil pola XRD dan SEM menunjukkan bahwa ZnFe<sub>2</sub>O<sub>4</sub> mengandung unsur Zn dan ZnFe<sub>2</sub>O<sub>4</sub> dengan ukuran partikel uniform. Nilai koersivitas dihasilkan sebesar 230 Oe, nilai saturasi sebesar 0,4 emu·g<sup>-1</sup> dan nilai remanansi sebesar 0,2 emu·g<sup>-1</sup>. Penambahan ZnO pada Fe<sub>3</sub>O<sub>4</sub> menunjukkan bahwa bahan aditif dapat merubah sifat magnet dan mikrostruktur dari suatu material magnet ZnO.

## Ucapan Terima Kasih

Penulis mengucapkan terima kasih kepada Universitas Sumatera Utara dari Penelitian Talenta dan Pusat Penelitian Fisika (P2F) Lembaga Ilmu Pengetahuan Indonesia (LIPI) Serpong, Jakarta.

## Referensi

- Aliah, H. *et al.* (2018) ‘Semiconductor Ceramic Mn<sub>0.5</sub>Fe<sub>1.5</sub>O<sub>3</sub>–Fe<sub>2</sub>O<sub>3</sub> from Natural Minerals as Ethanol Gas Sensors’, in *IOP Conference Series: Materials Science and Engineering*. doi: 10.1088/1757-899X/367/1/012041.
- Anandan, S. *et al.* (2017) ‘Magnetic and catalytic properties of inverse spinel CuFe<sub>2</sub>O<sub>4</sub> nanoparticles’, *Journal of Magnetism and Magnetic Materials*, 432, pp. 437–443. doi: 10.1016/j.jmmm.2017.02.026.
- C, P. *et al.* (2012) ‘Superparamagnetic MFe<sub>2</sub>O<sub>4</sub> (M = Fe, Co, Mn) Nanoparticles: Tuning the Particle Size and Magnetic Properties through a Novel One-Step Coprecipitation Route’, *Chemistry of Materials*, 24(8), pp. 1496–1504. doi: 10.1016/S0026-2714(03)00334-2.
- Chavarriaga, E. A. *et al.* (2018) ‘Synthesis by solution combustion and optical characterization of violet NASICON-type Mg<sub>0.45</sub>Co<sub>0.05</sub>Ti<sub>2</sub>(PO<sub>4</sub>)<sub>3</sub> pigment’, *Dyes and Pigments*. doi: 10.1016/j.dyepig.2018.04.041.
- Dewi, L. R., Widanarto, W. and Effendi, M. (2019) ‘Pengaruh temperatur sintering terhadap komposisi, sifat magnetik dan absorpsi gelombang mikro komposit nano zinc-ferit’, *Jurnal Teras Fisika*. doi: 10.20884/1.jtf.2019.2.1.1514.
- Dolgikh, L. Y. *et al.* (2014) ‘Catalytic Properties of MnO, Fe<sub>2</sub>O<sub>3</sub>, and MnFe<sub>2</sub>O<sub>4</sub> in the Steam Reforming of Ethanol’, *Theoretical and Experimental Chemistry*, 50(4), pp. 245–249. doi: 10.1007/s11237-014-9366-6.
- Franco, V. *et al.* (2018) ‘Magnetocaloric effect: From materials research to refrigeration devices’, *Progress in Materials Science*. doi: 10.1016/j.pmatsci.2017.10.005.
- Fu, Y. and Wang, X. (2011) ‘Magnetically separable ZnFe<sub>2</sub>O<sub>4</sub>-graphene catalyst and its high photocatalytic performance under visible light irradiation’, *Industrial and Engineering Chemistry Research*. doi: 10.1021/ie200162a.
- Hofmann, D. M. *et al.* (2007) ‘Properties of the oxygen vacancy in ZnO’, *Applied Physics A: Materials Science and Processing*. doi: 10.1007/s00339-007-3956-2.
- Ibrahim, I. *et al.* (2016) ‘Synthesis of magnetically recyclable spinel ferrite (MFe<sub>2</sub>O<sub>4</sub>, M=Zn, Co, Mn) nanocrystals engineered by sol gel-hydrothermal technology: High catalytic performances for nitroarenes reduction’, *Applied Catalysis B: Environmental*. doi: 10.1016/j.apcatb.2015.08.005.
- Ivanets, A. *et al.* (2019) ‘Effect of metal ions adsorption on the efficiency of methylene blue degradation onto MgFe<sub>2</sub>O<sub>4</sub> as Fenton-like catalysts’, *Colloids and Surfaces A: Physicochemical and Engineering Aspects*. doi: 10.1016/j.colsurfa.2019.03.071.
- Khayatian, A. *et al.* (2016) ‘The effect of fe-dopant concentration on ethanol gas sensing properties of fe doped ZnO/ZnO shell/core nanorods’, *Physica E: Low-Dimensional Systems and Nanostructures*, 84, pp. 71–78. doi: 10.1016/j.physe.2016.05.030.
- Kim, J. *et al.* (2019) ‘Electrochemical synergies of heterostructured Fe<sub>2</sub>O<sub>3</sub>-MnO catalyst for oxygen evolution reaction in alkaline water splitting’, *Nanomaterials*, 9(10). doi: 10.3390/nano9101486.
- Manikandan, A. *et al.* (2014) ‘A simple aloe vera plant-extracted microwave and conventional combustion synthesis: Morphological, optical, magnetic and catalytic properties of CoFe<sub>2</sub>O<sub>4</sub> nanostructures’, *Journal of Molecular Structure*. doi: 10.1016/j.molstruc.2014.07.054.
- Qin, M. *et al.* (2017) ‘Zinc ferrite composite material with controllable morphology and its applications’, *Materials Science and Engineering B: Solid-State Materials for Advanced Technology*. doi: 10.1016/j.mseb.2017.07.016.
- Rahmayeni *et al.* (2020) ‘Synthesis of ZnO/ZnFe<sub>2</sub>O<sub>4</sub> nanocomposites in organic free media and their photocatalytic activity under natural sunlight’, *Journal of Mechanical Engineering and Sciences*, 14(2), pp. 6801–6810. doi: 10.15282/JMES.14.2.2020.20.0532.
- Rianna, M., Sembiring, T., *et al.* (2019) ‘Effect of calcination temperature on Microstructures, magnetic properties, and microwave absorption on BaFe<sub>11.6</sub>Mg<sub>0.2</sub>Al<sub>0.2</sub>O<sub>19</sub> synthesized from natural iron sand’, *Case Studies in Thermal Engineering*, 13. doi: 10.1016/j.csite.2019.100393.
- Rianna, M., Situmorang, M., *et al.* (2019) ‘The effect of Mg-Al

- additive composition on microstructure, magnetic properties, and microwave absorption on BaFe<sub>12-2x</sub>Mg<sub>x</sub>Al<sub>x</sub>O<sub>19</sub> ( $x = 0\text{--}0.5$ ) material synthesized from natural iron sand', *Materials Letters*. doi: 10.1016/j.matlet.2019.126612.
- Saputra, C. et al. (2020) 'Sintesis Magnesium Ferit Berbasis Pasir Besi dari Sarmi menggunakan Metode Kopresipitasi', *Jurnal Fisika Flux: Jurnal Ilmiah Fisika FMIPA Universitas Lambung Mangkurat*. doi: 10.20527/flux.v17i2.6932.
- Sarkar, D. et al. (2012) 'Enhanced electrical, optical, and magnetic properties in multifunctional ZnO/ $\alpha$ -Fe<sub>2</sub>O<sub>3</sub> semiconductor nanoheterostructures by heterojunction engineering', *Journal of Physical Chemistry C*, 116(44), pp. 23540–23546. doi: 10.1021/jp3087732.
- Sebayang, P. et al. (2007) 'Efek Aditif Al<sub>2</sub>O<sub>3.2</sub>SiO<sub>2</sub> dan Suhu Sintering terhadap Karakteristik Keramik -Al<sub>2</sub>O<sub>3</sub>', *Jurnal Fisika dan Aplikasinya*. doi: 10.12962/j24604682.v3i2.977.
- Sripriya, R. C. et al. (2017) 'Synthesis and Characterization studies of ZnFe<sub>2</sub>O<sub>4</sub> nanoparticles', *Mechanics, Materials Science and Engineering*.
- Sun, L. et al. (2013) 'Synthesis of ZnFe<sub>2</sub>O<sub>4</sub>/ZnO nanocomposites immobilized on graphene with enhanced photocatalytic activity under solar light irradiation', *Journal of Alloys and Compounds*. doi: 10.1016/j.jallcom.2013.02.147.